

ГЕОМЕТРООПТИЧЕСКИЙ РАСЧЕТ ДИФРАКЦИОННЫХ ОПТИЧЕСКИХ ЭЛЕМЕНТОВ ДЛЯ ФОКУСИРОВКИ В ПЛОСКУЮ КРИВУЮ В НЕПАРАКСИАЛЬНОМ СЛУЧАЕ

Антон Юрьевич Дмитриев (стажер-исследователь, e-mail: tonydm@mail.ru),
 Леонид Леонидович Досколович (ведущий научный сотрудник, e-mail: leonid@smr.ru),
 Сергей Иванович Харитонов (старший научный сотрудник, e-mail: prognosz@smr.ru)
 Учреждение Российской академии наук Институт систем обработки изображений РАН,
 Самарский государственный аэрокосмический университет им. С.П. Королева

Аннотация

Получено общее аналитическое представление для эйконала дифракционного оптического элемента (ДОЭ) для фокусировки в произвольно ориентированную в пространстве плоскую кривую в непараксиальном случае. Эйконал записан в специальных криволинейных координатах. Расчет функции эйконала из условия фокусировки в линию с заданным распределением интенсивности сведен к решению обыкновенного дифференциального уравнения первого порядка, разрешенного относительно производной. Проведен расчет ДОЭ для фокусировки в отрезок. Результаты моделирования показывают высокое качество фокусировки в отрезок.

Ключевые слова: эйконал, дифракционный оптический элемент, криволинейные координаты, интенсивность, световое поле, линейная плотность.

Введение

В работах [1-10] рассмотрен расчет ДОЭ для фокусировки в линию произвольной формы. Расчет ДОЭ производится в приближении геометрической оптики. Задача расчета ДОЭ формулируется как задача расчета эйконала (или фазовой функции) светового поля из условия фокусировки в линию. Ввиду сложности решения обратной задачи фокусировки аналитические решения получены только для фокусировки в параксиальном приближении в простые линии, такие как отрезок, кольцо, дуга окружности и т.п. [1, 2, 4, 8-10]. Требование параксиальности существенно ограничивает области применения ДОЭ. В общем непараксиальном случае расчет эйконала ДОЭ требует решения нелинейного уравнения для каждой точки апертуры [1, 2, 4-7].

В работах [1, 2] предложено использовать специальную криволинейную систему координат, значительно упрощающую расчет в параксиальном приближении. В работах [11, 12] рассматривается задача фокусировки в кривую, лежащую в плоскости, параллельной плоскости ДОЭ. Предложено использовать другую криволинейную систему координат, позволяющую получить простое аналитическое выражение для функции эйконала в общем, непараксиальном случае.

В данной работе получено общее аналитическое представление для эйконала ДОЭ для фокусировки в произвольно ориентированную в пространстве плоскую кривую в непараксиальном случае. Криволинейные координаты, в которых записан эйконал, являются обобщением координат, предложенных в [11,12]. Функция эйконала зависит от функции $a(\xi)$, определяющей углы прихода лучей в точки кривой $\mathbf{X}(\xi)$. Функция $a(\xi)$ определяет распределение энергии вдоль кривой фокусировки. Расчет функции $a(\xi)$ сведен к решению обыкновенного дифференциального уравнения первого порядка, разрешенного относительно производной. В качестве

примера приведен расчет функции эйконала из условия фокусировки в отрезок.

1. Расчет эйконала ДОЭ в декартовой системе координат

Рассмотрим расчет ДОЭ для фокусировки в кривую (рис. 1). ДОЭ расположен в плоскости $z=0$ при $\mathbf{u} \in D$, где D – область апертуры, $\mathbf{u} = (u, v)$ – декартовы координаты. Комплексная амплитуда падающего на ДОЭ пучка имеет вид

$$w_0(\mathbf{u}) = \sqrt{I_0(\mathbf{u})} \exp(ik\psi_0(\mathbf{u})), \quad (1)$$

где $I_0(\mathbf{u})$ – интенсивность пучка, $\psi_0(\mathbf{u})$ – эйконал, $k = 2\pi/\lambda$, λ – длина волны. Линия фокусировки задана параметрическим уравнением

$$\mathbf{X}(\xi) = (X(\xi), Y(\xi), Z(\xi)), \quad (2)$$

где $\xi \in [0, d]$ – натуральный параметр. Вдоль линии требуется сформировать заданное распределение энергии $I(\xi)$, $\xi \in [0, d]$.

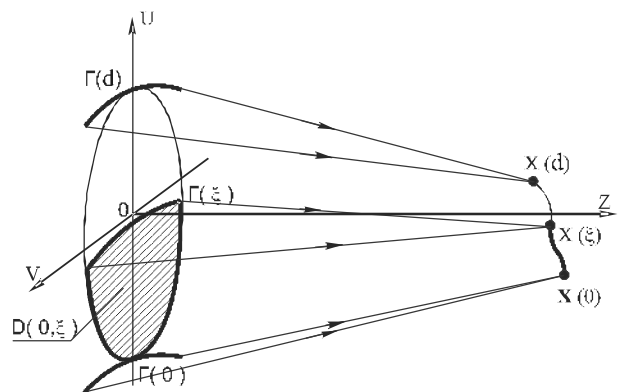


Рис. 1. Задача фокусировки в кривую

При расчете ДОЭ будем считать выполненным приближение тонкого оптического элемента. Тогда изменение эйконала светового пучка $\Delta\psi$ при его прохождении через ДОЭ пропорционально высоте микрорельефа ДОЭ, а амплитуда пучка сохраняется.

В простейшем случае изменение эйконала можно записать в виде:

$$\Delta\psi(\mathbf{u}) = (n-1)h(\mathbf{u}), \quad (3)$$

где n – показатель преломления материала ДООЭ.

Таким образом, эйконал непосредственно после ДООЭ можно записать в виде

$$\psi(\mathbf{u}) = \psi_0(\mathbf{u}) + \Delta\psi(\mathbf{u}). \quad (4)$$

Распространение светового пучка после прохождения через ДООЭ определяется эйконалом этого пучка в плоскости $z=0$. Таким образом, расчет функции высоты микрорельефа ДООЭ сводится к расчету функции эйконала $\psi(\mathbf{u}), \mathbf{u} \in D$ из условия фокусировки пучка с интенсивностью $I_0(\mathbf{u})$ в линию (2) с распределением энергии $I(\xi)$ [1-10].

Согласно общему уравнению эйконала единичный вектор луча, выходящего с апертуры, определяется производными эйконала в виде [13]:

$$\mathbf{p}(\mathbf{u}) = (p_x(\mathbf{u}), p_y(\mathbf{u}), p_z(\mathbf{u})) = \left(\frac{\partial\psi(\mathbf{u})}{\partial u}, \frac{\partial\psi(\mathbf{u})}{\partial v}, \sqrt{1 - \left(\frac{\partial\psi(\mathbf{u})}{\partial u} \right)^2 - \left(\frac{\partial\psi(\mathbf{u})}{\partial v} \right)^2} \right). \quad (5)$$

Так как при фокусировке все лучи с апертуры приходят на кривую (2), первые два компонента вектора $\mathbf{p}(\mathbf{u})$ можно записать в виде [1, 2]:

$$\begin{aligned} \frac{\partial\psi(\mathbf{u})}{\partial u} &= p_x(\mathbf{u}) = \frac{(X(\xi(\mathbf{u})) - u)}{\sqrt{(X(\xi(\mathbf{u})) - u)^2 + (Y(\xi(\mathbf{u})) - v)^2 + Z^2(\xi(\mathbf{u}))}}, \\ \frac{\partial\psi(\mathbf{u})}{\partial v} &= p_y(\mathbf{u}) = \frac{(Y(\xi(\mathbf{u})) - v)}{\sqrt{(X(\xi(\mathbf{u})) - u)^2 + (Y(\xi(\mathbf{u})) - v)^2 + Z^2(\xi(\mathbf{u}))}}. \end{aligned} \quad (6)$$

Функция $\xi(\mathbf{u})$ определяет лучевое соответствие между точками на апертуре и точками на кривой (2). Функция $\xi(\mathbf{u}) = \xi_0$ определяет линию $\Gamma(\xi_0)$ в плоскости $z=0$, лучи из точек которой приходят в точку кривой $\mathbf{X}(\xi_0)$ (рис.1). Линию $\Gamma(\xi_0)$ принято называть слоем [1-10].

Прямым дифференцированием легко показать, что функция эйконала, удовлетворяющая уравнению (6), может быть записана в виде:

$$\begin{aligned} \psi(u, v) &= -\sqrt{(u - X(\xi(\mathbf{u})))^2 + (v - Y(\xi(\mathbf{u})))^2 + Z^2(\xi(\mathbf{u}))} + (7) \\ &+ \psi_l(\xi(\mathbf{u})), \end{aligned}$$

$$\begin{aligned} \frac{(u - X(\xi)) \frac{dX(\xi)}{d\xi} + (v - Y(\xi)) \frac{dY(\xi)}{d\xi} - Z(\xi) \frac{dZ(\xi)}{d\xi}}{\sqrt{(u - X(\xi))^2 + (v - Y(\xi))^2 + Z^2(\xi(u, v))}} &= (8) \\ &= c(\xi), \end{aligned}$$

где $\psi_l(\xi) = -\int_0^\xi c(t) dt$, $c(\xi)$ определяет распределение энергии вдоль линии фокусировки. Уравнение (8) определяет функцию лучевого соответствия $\xi = \xi(u, v)$. На слое $\Gamma(\xi_0)$ уравнение (7) принимает вид:

$$\begin{aligned} \psi(u, v) &= -\sqrt{(u - X(\xi_0))^2 + (v - Y(\xi_0))^2 + Z^2(\xi_0)} + (9) \\ &+ \psi_l(\xi_0). \end{aligned}$$

Уравнение (9) является эйконалом (в плоскости $z=0$) сходящегося сферического пучка с фокусом в точке $\mathbf{X}(\xi_0)$. Константа

$$\begin{aligned} \psi_l(\xi_0) &= \psi(u, v) + \\ &+ \sqrt{(u - X(\xi_0))^2 + (v - Y(\xi_0))^2 + Z^2(\xi_0)} \end{aligned} \quad (10)$$

равна оптической длине пути лучей, приходящих в точку $\mathbf{X}(\xi_0)$ и определяющих эйконал в точке $\mathbf{X}(\xi_0)$.

Определим тип линий, которые образуют слои. Слой является пересечением плоскости $z=0$ и кругового конуса

$$\begin{aligned} \frac{(u - X(\xi)) \frac{dX(\xi)}{d\xi} + (v - Y(\xi)) \frac{dY(\xi)}{d\xi} - Z(\xi) \frac{dZ(\xi)}{d\xi}}{\sqrt{(u - X(\xi))^2 + (v - Y(\xi))^2 + Z^2(\xi)}} &= (11) \\ &= c(\xi), \end{aligned}$$

где $c(\xi)$ – косинус угла при вершине конической поверхности [1, 2, 5, 7]. Вершиной конуса является точка $\mathbf{X}(\xi)$. Ось конуса совпадает с касательной к

фокальной кривой $\mathbf{t} = \left(\frac{dX(\xi)}{d\xi}, \frac{dY(\xi)}{d\xi}, \frac{dZ(\xi)}{d\xi} \right)$. Вектор \mathbf{t} является единичным, т.к. ξ – натуральный параметр.

Чтобы получить необходимое распределение интенсивности $I(\xi)$, $\xi \in [0, d]$ на кривой фокусировки, необходимо определить функцию $c(\xi)$ в уравнениях (7), (8) из закона сохранения энергии. Для этого приравняем световой поток, падающий на часть апертуры фокусатора $D(0, \xi)$, заключенную между начальным и текущим слоями $\Gamma(0)$ и $\Gamma(\xi)$, к световому потоку, проходящему через часть фокальной кривой, заключенную между точками $\mathbf{X}(0)$ и $\mathbf{X}(\xi)$ (рис. 1):

$$\iint_{D(0,\xi)} I_0(u,v) dudv = \int_0^\xi I(\xi) d\xi. \quad (12)$$

Функция $c(\xi)$ входит в (12) неявно, она содержится в границах области интегрирования $D(0,\xi)$ (рис.1).

В общем случае расчет функции $c(\xi)$ из уравнения сохранения энергии (12) и функции $\xi(\mathbf{u})$ из уравнения слоя (8) являются сложными вычислительными задачами, состоящими в решении нелинейных уравнений. При этом расчет функции $\xi(\mathbf{u})$ требует решения нелинейного уравнения слоя для каждой точки апертуры ДООЭ.

2. Расчет эйконала ДООЭ в криволинейной системе координат

Расчет ДООЭ может быть существенно упрощен введением специально выбранных криволинейных координат.

Будем рассматривать задачу фокусировки в плоскую кривую

$$\mathbf{X}(\xi) = (X(\xi), Y(\xi), Z(X(\xi), Y(\xi))), \quad (13)$$

лежащую в плоскости с вектором нормали $\mathbf{b} = (b_x, b_y, b_z)$ и проходящую через точку $\mathbf{x}_0 = (0, 0, f)$.

Так как кривая (13) является плоской, $Z(\xi)$ зависит от $X(\xi)$ и $Y(\xi)$.

Уравнение плоскости фокусировки запишем в виде:

$$b_x x + b_y y + b_z (z - f) = 0, \quad (14)$$

Подставив кривую (13) в (14), получим выражение для $Z(\xi)$:

$$Z(X(\xi), Y(\xi)) = -\frac{b_x X(\xi) + b_y Y(\xi)}{b_z} + f, \quad (15)$$

$$\frac{dZ(\xi)}{d\xi} = -\frac{b_x \frac{dX(\xi)}{d\xi} + b_y \frac{dY(\xi)}{d\xi}}{b_z}. \quad (16)$$

Вектор нормали к кривой в плоскости фокусировки может быть представлен векторным произведением нормали к плоскости \mathbf{b} и касательной к кривой \mathbf{t} :

$$\begin{aligned} \mathbf{n} &= \mathbf{b} \times \mathbf{t} = (N_x(\xi), N_y(\xi), N_z(\xi)) = \\ &= \left(-b_z \frac{dY(\xi)}{d\xi} + b_y \frac{dZ(\xi)}{d\xi}; b_z \frac{dX(\xi)}{d\xi} - b_x \frac{dZ(\xi)}{d\xi} - \right. \\ &\quad \left. - b_y \frac{dX(\xi)}{d\xi} + b_x \frac{dY(\xi)}{d\xi} \right). \end{aligned} \quad (17)$$

Разложим вектор образующей конуса (11) \mathbf{q} по векторам \mathbf{t} , \mathbf{n} и \mathbf{b} :

$$\mathbf{q} = \mathbf{t} \cos \omega + \mathbf{n} \sin \omega \sin \psi - \mathbf{b} \sin \omega \cos \psi, \quad (18)$$

где ω – угол при вершине конической поверхности, ψ – угол, определяющий положение луча на обра-

зующей конуса. Угол ψ отсчитывается от плоскости $\mathbf{n}=0$.

Найдем пересечение образующей конуса с плоскостью ДООЭ:

$$\mathbf{u}(\xi) = \mathbf{X}(\xi) - \mathbf{q} \cdot l. \quad (19)$$

Из уравнений (17), (18) и (19) получим:

$$\begin{aligned} u(\xi) &= X(\xi) - \left(\frac{dX(\xi)}{d\xi} \cos \omega + \right. \\ &\quad \left. + N_x(\xi) \sin \omega \sin \psi - b_x \sin \omega \cos \psi \right) \cdot l, \end{aligned} \quad (20.1)$$

$$\begin{aligned} v(\xi) &= Y(\xi) - \left(\frac{dY(\xi)}{d\xi} \cos \omega + \right. \\ &\quad \left. + N_y(\xi) \sin \omega \sin \psi - b_y \sin \omega \cos \psi \right) \cdot l, \end{aligned} \quad (20.2)$$

$$\begin{aligned} z(\xi) &= Z(\xi) - \left(\frac{dZ(\xi)}{d\xi} \cos \omega + \right. \\ &\quad \left. + N_z(\xi) \sin \omega \sin \psi - b_z \sin \omega \cos \psi \right) \cdot l = 0 \end{aligned} \quad (20.3)$$

Из (20.3) найдем параметр l :

$$\begin{aligned} l &= \\ &= \frac{Z(\xi)}{\left(\frac{dZ(\xi)}{d\xi} \cos \omega + N_z(\xi) \sin \omega \sin \psi - b_z \sin \omega \cos \psi \right)}. \end{aligned} \quad (21)$$

Подставив (21) в (20.1) и (20.2), нетрудно получить:

$$\begin{aligned} u(\xi) &= X(\xi) - \\ &= \frac{Z(\xi) \left(\frac{dX(\xi)}{d\xi} \operatorname{ctg} \omega \frac{1}{\cos \psi} + N_x(\xi) \operatorname{tg} \psi - b_x \right)}{\left(\frac{dZ(\xi)}{d\xi} \operatorname{ctg} \omega \frac{1}{\cos \psi} + N_z(\xi) \operatorname{tg} \psi - b_z \right)}, \end{aligned} \quad (22.1)$$

$$\begin{aligned} v(\xi) &= Y(\xi) - \\ &= \frac{Z(\xi) \left(\frac{dY(\xi)}{d\xi} \operatorname{ctg} \omega \frac{1}{\cos \psi} + N_y(\xi) \operatorname{tg} \psi - b_y \right)}{\left(\frac{dZ(\xi)}{d\xi} \operatorname{ctg} \omega \frac{1}{\cos \psi} + N_z(\xi) \operatorname{tg} \psi - b_z \right)}. \end{aligned} \quad (22.2)$$

Введем следующие переменные:

$$\eta = f \operatorname{tg} \psi, \quad a(\xi) = \operatorname{ctg} \omega = \frac{c(\xi)}{\sqrt{1-c^2(\xi)}}, \quad (23.1)$$

тогда

$$\sqrt{f^2 + \eta^2} = \frac{f}{\cos \psi} = K(\eta). \quad (23.2)$$

Подставив (23) в (22), получим криволинейные координаты в плоскости задания эйконала ДООЭ:

$$\begin{aligned} u(\xi, \eta) &= X(\xi) - \\ &= \frac{Z(\xi) \left(\frac{dX(\xi)}{d\xi} a(\xi) \sqrt{f^2 + \eta^2} + N_x(\xi) \eta - f b_x \right)}{\frac{dZ(\xi)}{d\xi} a(\xi) \sqrt{f^2 + \eta^2} + N_z(\xi) \eta - f b_z}, \end{aligned} \quad (24.1)$$

$$v(\xi, \eta) = Y(\xi) - \frac{Z(\xi) \left(\frac{dY(\xi)}{d\xi} a(\xi) \sqrt{f^2 + \eta^2} + N_y(\xi) \eta - fb_y \right)}{\frac{dZ(\xi)}{d\xi} a(\xi) \sqrt{f^2 + \eta^2} + N_z(\xi) \eta - fb_z}. \quad (24.2)$$

Координата ξ в (24) определяет слой, а координата η - положение точки на слое $\Gamma(\xi)$.

Подставим координаты (24) в уравнения (9) и получим функцию эйконала в криволинейных координатах:

$$\begin{aligned} \psi(u(\xi, \eta), v(\xi, \eta)) = & \\ = -\left((u(\xi, \eta) - X(\xi))^2 + (v(\xi, \eta) - Y(\xi))^2 + \right. & \quad (25) \\ \left. + Z^2(X(\xi), Y(\xi)) \right)^{0.5} + \psi_l(\xi), & \end{aligned}$$

где $\psi_l(\xi) = -\int_0^\xi \frac{a(t)}{\sqrt{1+a^2(t)}} dt$.

3. Формирование заданной линейной плотности энергии вдоль кривой фокусировки

Эйконал (25) зависит от функции $a(\xi)$, задающей углы раствора конусов лучей, приходящих на линию фокусировки. Рассмотрим расчет $a(\xi)$ из условия формирования заданного распределения энергии вдоль кривой фокусировки. Световой поток, заключенный между слоями $\Gamma(\xi), \Gamma(\xi + \Delta\xi)$, имеет вид

$$\Delta\Phi = \Delta\xi \int_{\eta_1(\xi)}^{\eta_2(\xi)} I_0(\xi, \eta) J(\xi, \eta) d\eta, \quad (26)$$

где

$$\begin{aligned} J(\xi, \eta) = \frac{\partial u(\xi, \eta)}{\partial \xi} \frac{\partial v(\xi, \eta)}{\partial \eta} - \frac{\partial u(\xi, \eta)}{\partial \eta} \frac{\partial v(\xi, \eta)}{\partial \xi} = & \\ = \frac{da(\xi)}{d\xi} S_1(\xi, \eta) + S_2(\xi, \eta) & \quad (27) \end{aligned}$$

- якобиан преобразования координат, где

$$\begin{aligned} S_1(\xi, \eta) = Z(\xi) K(\eta) \times & \\ \times \left[\frac{\partial v(\xi, \eta)}{\partial \eta} \frac{\eta Q_2(\xi) + fN_y(\xi)}{Q_1^2(\xi, \eta)} - \right. & \quad (28) \\ \left. \frac{\partial u(\xi, \eta)}{d\eta} \frac{\eta Q_3(\xi) - fN_x(\xi)}{Q_1^2(\xi, \eta)} \right], & \end{aligned}$$

$$\begin{aligned} S_2(\xi, \eta) = \frac{\partial v(\xi, \eta)}{\partial \eta} \times & \\ \times \left[\frac{-\eta Q_2(\xi) - fN_y(\xi)}{Q_1(\xi, \eta)} + \right. & \\ \frac{Z(\xi) \left(\frac{d^2 X(\xi)}{d\xi^2} a(\xi) K(\eta) + \eta \frac{\partial N_x(\xi)}{\partial \xi} \right)}{Q_1(\xi, \eta)} + & \\ \frac{Z(\xi) \left(\frac{dX(\xi)}{d\xi} a(\xi) K(\eta) + \eta N_x(\xi) - fb_x \right)}{Q_1^2(\xi, \eta)} \times & \\ \times \left. \frac{\left(\frac{d^2 Z(\xi)}{d\xi^2} a(\xi) K(\eta) + \eta \frac{dN_z(\xi)}{d\xi} \right)}{Q_1^2(\xi, \eta)} \right] - & \\ - \frac{\partial u(\xi, \eta)}{\partial \eta} \left[\frac{-\eta Q_3(\xi) + fN_x(\xi)}{Q_1(\xi, \eta)} + \right. & \\ \frac{Z(\xi) \left(\frac{d^2 Y(\xi)}{d\xi^2} a(\xi) K(\eta) + \eta \frac{\partial N_y(\xi)}{\partial \xi} \right)}{Q_1(\xi, \eta)} + & \\ \frac{Z(\xi) \left(\frac{dY(\xi)}{d\xi} a(\xi) K(\eta) + \eta N_y(\xi) - fb_y \right)}{Q_1^2(\xi, \eta)} \times & \\ \times \left. \frac{\left(\frac{d^2 Z(\xi)}{d\xi^2} a(\xi) K(\eta) + \eta \frac{dN_z(\xi)}{d\xi} \right)}{Q_1^2(\xi, \eta)} \right], & \quad (29) \end{aligned}$$

$$Q_1(\xi, \eta) = \frac{dZ(\xi)}{d\xi} a(\xi) K(\eta) + N_z(\xi) \eta - fb_z,$$

$$Q_2(\xi) = -\frac{dX(\xi)}{d\xi} N_z(\xi) + \frac{dZ(\xi)}{d\xi} N_x(\xi),$$

$$Q_3(\xi) = -\frac{dY(\xi)}{d\xi} N_z(\xi) + \frac{dZ(\xi)}{d\xi} N_y(\xi).$$

Пределы интегрирования $\eta_1(\xi), \eta_2(\xi)$ в (26) определяют точки пересечения слоя $\Gamma(\xi)$ с границей апертуры ДОО. В частности, для круглой апертуры радиуса R функции $\eta_1(\xi), \eta_2(\xi)$ в (7) находятся из уравнения

$$u^2(\xi, \eta) + v^2(\xi, \eta) = R^2. \quad (30)$$

По построению элемента световой поток $\Delta\Phi$, заключенный между слоями $\Gamma(\xi), \Gamma(\xi + \Delta\xi)$, переходит в элемент кривой длины $\Delta\xi$, заключенный между точками $\mathbf{X}(\xi), \mathbf{X}(\xi + \Delta\xi)$. Соответственно, световой поток, приходящийся на единицу длины кривой фокусировки, имеет вид

$$I(\xi) = \lim_{\Delta\xi \rightarrow 0} \frac{\Delta\Phi}{\Delta\xi} = \int_{\eta_1(\xi)}^{\eta_2(\xi)} I_0(\xi, \eta) J(\xi, \eta) d\eta. \quad (31)$$

Функцию (31) будем называть линейной плотностью энергии вдоль кривой [1, 2, 4-7]. Уравнение (31) позволяет определить функцию $a(\xi)$ из условия формирования заданной линейной плотности $I(\xi)$. Действительно, подставив (27) в (31), получим для $a(\xi)$ следующее дифференциальное уравнение:

$$\frac{da(\xi)}{d\xi} = \frac{I(\xi) - \int_{\eta_1(\xi)}^{\eta_2(\xi)} I_0(\xi, \eta) S_2(\xi, \eta) d\eta}{\int_{\eta_1(\xi)}^{\eta_2(\xi)} I_0(\xi, \eta) S_1(\xi, \eta) d\eta}. \quad (32)$$

Таким образом, задача фокусировки в кривую с заданной линейной плотностью $I(\xi)$ сведена к решению дифференциального уравнения первого порядка (32), разрешенного относительно производной. Для решения уравнения (32) могут быть использованы стандартные численные методы типа метода Рунге-Кутты.

4. Фокусировка в отрезок

Рассмотрим фокусировку в отрезок

$$\mathbf{X}(\xi) = \left(0, \xi - \frac{d}{2}, Z(Y(\xi)) \right), \quad \xi \in [0, d] \quad (33)$$

с постоянной линейной плотностью $I(\xi) = I$, расположенный в плоскости с вектором нормали $\mathbf{b} = (0, \sin \alpha, \cos \alpha)$ и проходящей через точку $\mathbf{x}_0 = (0, 0, f)$. Апертуру будем считать эллипсом с полуосями $l_1 = R$, $l_2 = R/\cos \alpha$, а интенсивность падающего пучка – постоянной $I_0(\xi, \eta) = I_0$. Уравнение плоскости можно представить в виде:

$$y \sin \alpha + z \cos \alpha = f \cos \alpha. \quad (34)$$

Из (34) получим выражения для $Z(\xi)$:

$$Z(\xi) = -Y(\xi) \operatorname{tg} \alpha + f. \quad (35)$$

$$\frac{dZ(\xi)}{d\xi} = -\operatorname{tg} \alpha. \quad (36)$$

Для отрезка (33) криволинейные координаты (24) имеют вид:

$$u(\xi, \eta) = -\frac{Z(\xi)\eta/\cos \alpha}{\operatorname{tg} \alpha a(\xi) \sqrt{f^2 + \eta^2} + f \cos \alpha}, \quad (37.1)$$

$$v(\xi, \eta) = Y(\xi) + \frac{Z(\xi) \left(a(\xi) \sqrt{f^2 + \eta^2} - f \sin \alpha \right)}{\operatorname{tg} \alpha a(\xi) \sqrt{f^2 + \eta^2} + f \cos \alpha}. \quad (37.2)$$

Дифференциальное уравнение (31) для отрезка принимает вид:

$$\begin{aligned} \frac{da}{d\xi} = & \left(-\frac{\pi R^2}{d} - \int_{\eta_1(\xi)}^{\eta_2(\xi)} \frac{\frac{\partial v(\xi, \eta)}{\partial \eta} \eta \operatorname{tg} \alpha - \frac{\partial u(\xi, \eta)}{\partial \eta} f}{a(\xi) \operatorname{tg} \alpha \sqrt{f^2 + \eta^2} + f \cos \alpha} d\eta \right) \times \\ & \times \left(\int_{\eta_1(\xi)}^{\eta_2(\xi)} Z(\xi) \sqrt{f^2 + \eta^2} \times \right. \\ & \left. \times \frac{\frac{\partial v(\xi, \eta)}{\partial \eta} \eta \operatorname{tg} \alpha - \frac{\partial u(\xi, \eta)}{\partial \eta} f}{\left(a(\xi) \operatorname{tg} \alpha \sqrt{f^2 + \eta^2} + f \cos \alpha \right)^2} d\eta \right)^{-1}. \end{aligned} \quad (38)$$

Пределы интегрирования $\eta_1(\xi), \eta_2(\xi)$ в (38) находятся из уравнения:

$$u^2(\xi, \eta) + \frac{v^2(\xi, \eta)}{\cos^2 \alpha} = R^2. \quad (39)$$

На основе формул (25), (38) был проведен расчет эйконала для фокусировки в отрезок (33) при следующих параметрах: $\alpha = \pi/4$, $d = 45\lambda$, $R = 50\lambda$, $f = 40\lambda$, длина волны $\lambda = 1$ мкм. Полученная функция эйконала в декартовых координатах, взятая по модулю λ , приведена на рис. 2.

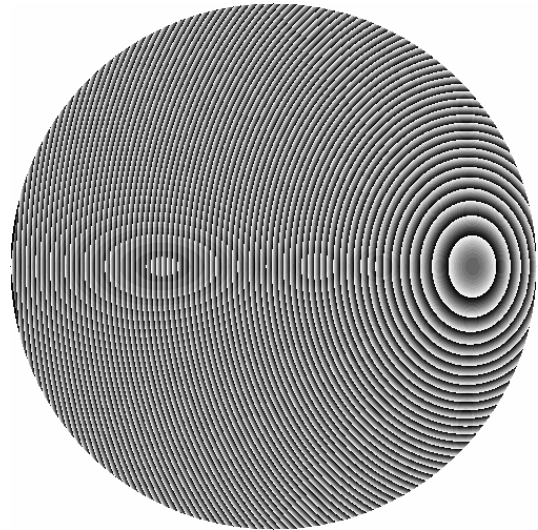


Рис. 2. Функция эйконала для фокусировки в отрезок

Для проверки качества фокусировки в отрезок был произведен расчет освещенности, получаемой в плоскости фокусировки при рассчитанном эйконале, в рамках геометрической оптики. В работах [14-16] предложено использовать усредненное интегральное представление для освещенности в плоскости фокусировки, справедливое в приближении геометрической оптики. Указанное представление имеет вид:

$$E(\mathbf{x}) = \iint_D I_0(\mathbf{u}_e) \delta_\sigma(\mathbf{x} - \mathbf{x}(\mathbf{u}_e)) d\mathbf{u}_e, \quad (40)$$

где D – область апертуры фокусатора, $\mathbf{u}_e = (u_e, v_e)$ – декартовы координаты в плоскости эйконала, $\delta_\sigma(\mathbf{x})$ – аппроксимация δ -функции в виде гауссовой функции

$$\delta_\sigma(x, y) = \frac{1}{\pi\sigma^2} \exp\left(-\frac{x^2 + y^2}{\sigma^2}\right). \quad (41)$$

Функция $\mathbf{x}(\mathbf{u}_e)$ в (7) определяет координаты точек прихода лучей в плоскость фокусировки

$$\mathbf{x}(\mathbf{u}_e) = \mathbf{u}_e + \nabla\psi(\mathbf{u}_e) \times \frac{f - v_e \operatorname{tg} \alpha}{\frac{\partial\psi}{\partial v_e} \operatorname{tg} \alpha + \sqrt{1 - (\nabla\psi(\mathbf{u}_e))^2}}, \quad (42)$$

где $\nabla\psi(\mathbf{u}_e)$ – градиент эйконала. Выражение (40) ориентировано на расчет освещенности с использованием метода трассировки лучей [17]. В этом случае формула (40) дает усредненное значение освещенности по окрестности, определяемой «эффективной» шириной функции $\delta_\sigma(\mathbf{x})$. Величина этой окрестности обычно определяется шагом дискретизации в области наблюдения.

На рис. 3 представлена расчетная функция освещенности вдоль отрезка фокусировки.

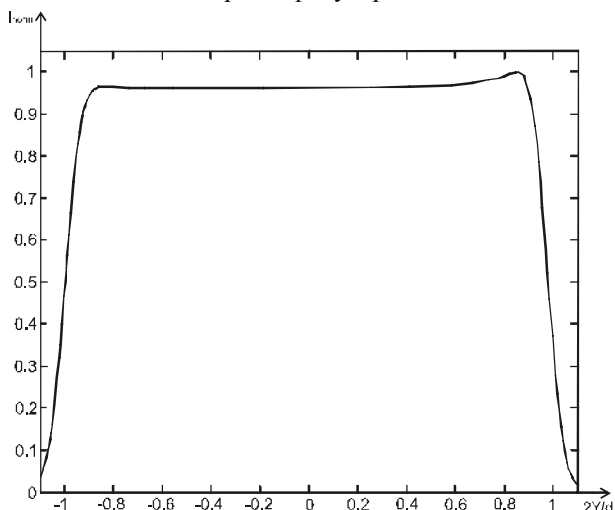


Рис. 3. Нормированная освещенность вдоль отрезка фокусировки

Рис. 3 показывает, что рассчитанный эйконал обеспечивают хорошее качество фокусировки в отрезок.

Заключение

Расчет функции эйконала из условия фокусировки в произвольно ориентированную в пространстве плоскую кривую в непараксиальном случае сведен к решению обыкновенного дифференциального уравнения первого порядка, разрешенного относительно производной. Проведен расчет эйконала из условия фокусировки в отрезок для случая равномерного освещающего пучка. Показано, что рассчитанный эйконал обеспечивает хорошее качество фокусировки в отрезок.

Благодарности

Работа выполнена при поддержке фонда «Фундаментальные исследования и высшее образование» (PG08-014-1), грантов РФФИ № 08-07-99005, 09-07-12147, 09-07-92421, 07-07-00210, Фонда содействия отечественной науке и гранта Президента РФ поддержки ведущих научных школ (НШ-3086.2008.9).

Литература

1. Methods for Computer Design of Diffractive Optical Elements. Edited by Victor A. Soifer // A Wiley Interscience Publication, John Wiley & Sons, Inc., New York, 2002, 764 p.
2. Дифракционная компьютерная оптика / под ред. В.А. Сойфера - М.: Физмалит, 2007. – Глава 3.
3. **Doskolovich L.L.**, Kazanskiy N.L., Soifer V.A., Kharitonov S.I., Perlo P. A DOE to form a line-shaped directivity diagram // Journal of Modern Optics, 2004, Vol. 51, № 13, pp. 1999-2005.
4. **V. Soifer**, V. Kotlyar, L. Doskolovich. *Iterative Methods for Diffractive Optical Elements Computation* // Taylor&Francis LTD, 1997, 244 p.
5. **Данилов В.А.** Теория когерентных фокусаторов / Б.Е.Кинбер, А.Е. Шиллов // Компьютерная оптика. - М.: МЦНТИ, 1987. - Вып.1. - С.40-52.
6. **Гончарский А.В.** Решение обратной задачи фокусировки лазерного излучения в произвольную кривую / А.В. Гончарский, В.А. Данилов, В.В. Попов, А.М. Прохоров, И.Н. Сисакян, В.А. Сойфер, В.В. Степанов // Доклады АН СССР, 1983, Т.273, № 3. - С.605-608.
7. **Гончарский А.В.** Плоские фокусирующие элементы видимого диапазона / А.В. Гончарский, В.А. Данилов, В.В. Попов, И.Н. Сисакян, В.А. Сойфер, В.В. Степанов // Квантовая электроника, -1986. -Т.13. -№ 3. - С.660-662.
8. **Soifer V.A.**, Golub M.A. Diffractive micro-optical elements with non-point response // Proceedings SPIE. - 1992. - Vol.1751. - P.140-154.
9. **Doskolovich L.L.** Comparative analysis of different focusators into segment / L.L. Doskolovich N.L. Kazanskiy, V.A. Soifer // Optics and Laser Technology. - 1995. - Vol.27, №4. - P.207-213.
10. **Гончарский А.В.** Математические модели в задачах синтеза плоских оптических элементов // Компьютерная оптика. - М.: МЦНТИ, 1987. - Вып.1. - С.19-31.
11. **Дмитриев А.Ю.** Геометрооптический расчет фокусатора в линию в непараксиальном случае / А.Ю. Дмитриев, Л.Л. Досколович, С.И. Харитонов // Компьютерная оптика. – 2008. – Т.32, №4. – С. 343-347.
12. **Дмитриев А.Ю.** Геометрооптический расчет оптических элементов для фокусировки в линию в непараксиальном случае / А.Ю. Дмитриев, Л.Л. Досколович, С.И. Харитонов, М.А. Моисеев // Компьютерная оптика, -Т. 33. -№ 2. -2009. -С. 122-128.
13. **Борн, М.** Основы оптики / М. Борн, Э. Вольф – М.: Наука, 1973.
14. **Белоусов А.А.** Градиентный метод решения задачи фокусировки в двумерную область при протяженном источнике / А.А. Белоусов, Л.Л. Досколович // Компьютерная оптика, -2007. -Т. 31. -№3. -С. 20-26.
15. **Belousov A. A.** A gradient method of designing optical elements for forming a specified irradiance on a curved surface / A. A. Belousov, L. L. Doskolovich, and S. I. Kharitonov // Journal of Optical Technology, Vol. 75, Issue 3, 2008, pp. 161-165

16. **Белоусов А.А.** Градиентный метод расчет эйконала для фокусировки в заданную область / А.А. Белоусов, Л.Л. Досколович, С.И. Харитонов // *Автометрия*, - 2007. -Т. 43. -№1. -С. 98-106.
17. **Young C., Wells D.** *Ray Tracing Creations*, 2d Ed. London. Waite Group Press, 1994.

References

1. *Methods for Computer Design of Diffractive Optical Elements*. Edited by Victor A. Soifer // A Wiley Interscience Publication, John Wiley & Sons, Inc., New York, 2002, 764 p.
2. *Diffractive Computer Optics* / edited by V.A. Soifer – Moscow: Fizmatlit, 2007. Chapter 3. – (in Russian)
3. **Doskolovich L.L.**, Kazanskiy N.L., Soifer V.A., Kharitonov S.I., Perlo P. A DOE to form a line-shaped directivity diagram // *Journal of Modern Optics*, 2004, Vol. 51, № 13, pp. 1999-2005.
4. **V. Soifer**, V. Kotlyar, L. Doskolovich. *Iterative Methods for Diffractive Optical Elements Computation* // Taylor&Francis LTD, 1997, 244 p.
5. **Danilov V.A.** *Theory of coherent focusers* / B.E. Kinber, A.E. Shilov // *Computer optics*. - Moscow, 1987. - Vol. 1, №1. - pp. 40-52.
6. **Goncharsky A.V.** Solving the inverse problem of focusing the laser light into an arbitrary curve / A.V. Goncharsky et al. // *Dokl. USSR Acad Sci*. 1983. Vol. 273, №3. pp. 605-608. – (in Russian)
7. **Goncharsky A.V.** Planar focusing elements of visible range / A.V. Goncharsky et al. // *J. Quant. Electron*, 1986, Vol.13, № 3. – pp. 660-662. – (in Russian)
8. **Soifer V.A.**, Golub M.A. Diffractive micro-optical elements with non-point response // *Proceedings SPIE*. - 1992. - Vol.1751. - P.140-154.
9. **Doskolovich L.L.** Comparative analysis of different focusers into segment / L.L. Doskolovich N.L. Kazanskiy, V.A. Soifer // *Optics and Laser Technology*. - 1995. - Vol.27, №4. - P.207-213.
10. **Goncharsky A.V.** Mathematical models in the design of flat optics elements // *Computer optics - Moscow*, 1989. - Vol. 1, №1. - pp. 13-20
11. **Dmitriev A.Yu.** Geometric-optics design of focusers into a line in nparaxial case / A.Yu. Dmitriev, L.L. Doskolovich, S.I. Kharitonov // *Computer optics*, 2008, Vol.32, №4, pp. 343-347. – (in Russian)
12. **Dmitriev A.Yu.** Geometric-optics design of optical elements into a line in nparaxial case / A.Yu. Dmitriev, L.L. Doskolovich, S.I. Kharitonov, M.A. Moiseev // *Computer optics*, 2009, Vol.33, №2, pp. 122-128. – (in Russian)
13. **Born M.** *Principles of optics* / M. Born, E. Wolf – Moscow: Nauka, 1973.
14. **Belousov A. A.** A gradient method of designing optical elements for forming into 2-D domain in case of distant radiation source / A. A. Belousov, L. L. Doskolovich // *Computer optics*, 2007, Vol. 31, №3, pp. 20-26. – (in Russian)
15. **Belousov A. A.** A gradient method of designing optical elements for forming a specified irradiance on a curved surface / A. A. Belousov, L. L. Doskolovich, and S. I. Kharitonov // *Journal of Optical Technology*, Vol. 75, Issue 3, 2008, pp. 161-165
16. **A. A. Belousov** Gradient method of calculating the eikonal for focusing in a given region / A. A. Belousov, L. L. Doskolovich, and S. I. Kharitonov // *Avtometriya* Vol. 43, №1, 2007, pp. 98-106 – (in Russian)
17. **Young C., Wells D.** *Ray Tracing Creations*, 2d Ed. London. Waite Group Press, 1994.

GEOMETRIC-OPTICS DESIGN OF DIFFRACTIVE OPTICAL ELEMENTS TO FOCUS INTO A PLANE LINE

*Anton Yurievich Dmitriev (apprentice researcher, tonydm@mail.ru),
Leonid Leonidovich Doskolovich (leading researcher, leonid@smr.ru),
Sergei Ivanovich Kharitonov (senior researcher prognos@smr.ru)
Image Processing Systems Institute of the RAS,
S. P. Korolyov Samara State Aerospace University*

Abstract

We derive general non-paraxial analytical representation of the eikonal function for design of diffractive optical element (DOE) to focus into a arbitrary oriented plane line. The eikonal is given in special curvilinear coordinates. The calculation of the eikonal on condition of focusing into a line with prescribed intensity distribution is reduced to solving of a first-order differential equation solved for the derivative. We design DOEs to generate a line-segment focus. The simulation data shows that the DOE produces high performance focal lines.

Key words: eikonal, diffractive optical element, curvilinear coordinates, intensity, light field, line density.

Поступила в редакцию 28.10.2009 г.